

摩擦を有するパンチ端から発生したクラック

○ 東急建設(株)	正員	奥村 韶也
名 工 大	正員	長谷部 宣男
名 工 大	正員	中村 卓次

1.まえがき 混合境界値問題のうち、直線をなす一部の境界(境界M)上で接線方向外力と法線方向変位を与える問題で、残りの境界(境界L)上で外力を与える問題で、境界M上で接線方向外力が法線方向外力に係数一定で比例、すなわち、摩擦係数一定の摩擦力が作用する問題を考える。この問題に対する有理写像関数と複素応力関数を用いた解法と一般解

は既に報告した¹⁾。本報告では、解析例として図1に示す一端にクラックを有するパンチ(境界M)が、水平を保てて合力 P_y で押込まれる荷重下の解析結果を示す。以下において、 μ は摩擦係数、 a はパンチの長さ、 b はクラックの長さであり、また、 κ はポアソン比の関数で、一般化した平面応力では $\kappa = (3-\nu)/(1+\nu)$ 、平面歪では $\kappa = 3-4\nu$ である。

2.解析結果 ①応力分布 クラック発生前後の応力分布例として、 $\kappa = 2$ の場合図2(境界M上)、図3(境界L上)に示す。境界M上でクラックの有無によらず、 $\sigma_{xy} = \mu \sigma_y$ の関係がある。クラック発生前には、境界M上ではパンチの両端で圧縮の応力集中が見られるが、境界L上ではパンチの右端(点D)で引張り左端(点E)で圧縮である。したがって、点Dからクラックが発生する可能性がある。クラック発生後では、点Dでの応力集中は緩和されている。本報告の荷重下で $0.0 < \mu < 0.5$ では、点Dの応力は零である。母材とパンチとが点Dで離れるこことはない。

②応力拡大係数 次式の無次元化した応力拡大係数を用いる。 図2 応力分布 $\kappa=2, \mu=0.2$

$$F_{Ia} + i F_{IIa} = (K_I + i K_{II}) \sqrt{a} / (\pi P_y)$$

$$F_{Ib} + i F_{IIb} = (K_I + i K_{II}) \sqrt{b} / (\pi P_y)$$

κ による影響を調べるために、図4に $\mu = 0.5$,

$\kappa = 1, 2, 3$ の F_{Ia} , F_{IIa} を示す。 b/a が小さい場合には κ による差が現れるが、 b/a が大きくなれば κ による差は見られない。

$\mu = 0$ の場合には κ の影響はない²⁾。すなわち、 $0.0 < \mu < 0.5$ では κ の影響は大きくない。 μ の影響を調べるために、図5、図6に $\kappa = 2, \mu = 0.0, 0.2, 0.4$ の F_{Ia} , F_{IIa} および F_{Ib} , F_{IIb} を示す。前者はパンチの長さが一定のパンチ端から発生したクラックの長さが変化する場合の解体、後者はク

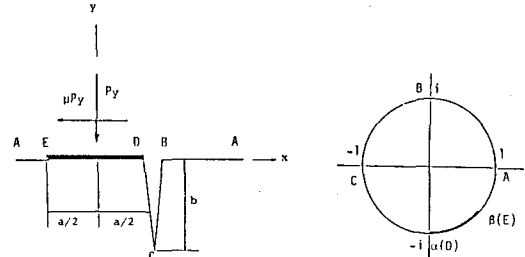
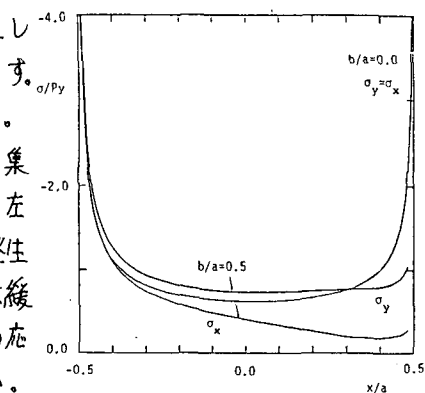
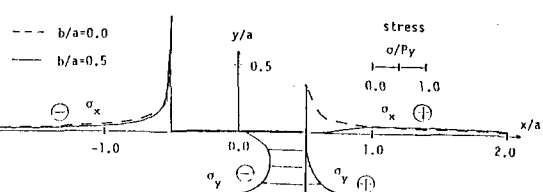
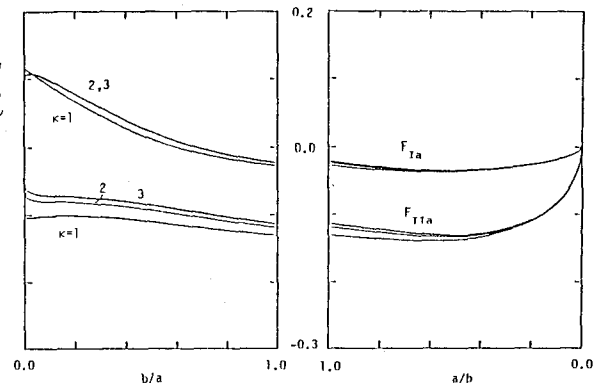


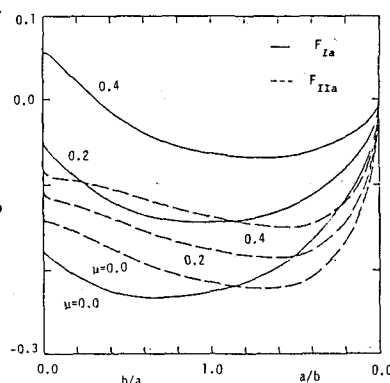
図1 解析モデルと単位円

図2 応力分布 $\kappa=2, \mu=0.2$ 図3 応力分布 $\kappa=2, \mu=0.2$

ラックの長さが一定でパッチの長さが変化する場合の解析と考えられる。 b/a が小さな範囲はパッチ端から発生した初期クラックの状態である。 μ の値が大きいと初期クラックにおいて F_{Ia} は正となるが、 b/a が大きくなると負となる。すなわち、荷重 P_y の大きさや母材の材料定数によらず、初期クラックが発生してもある長さでクラックは停止する。また、母が一定であるため、パッチの長さが短いと応力拡大係数は大きくなる。

図4 無次元化した応力拡大係数 $\mu=0.5$

初期クラックに対する摩擦係数 μ の影響を調べるために、 $b/a = 0.01$ について F_{Ia} と μ との関係を図5に示す。 F_{Ia} の符号が変わる μ を μ とすれば、 $\kappa = 1, 2, 3$ に対して $\mu = 0.314, 0.294, 0.286$



である。 $\mu < \mu$ では、

図5 無次元化したS.I.F. $\kappa=2$

F_{Ia} は常に負でありクラックは発生しない。
③合モーメント 次式の無次元化された合モーメントを用いる。

$$M_{ra} = R_m / (2P_y)$$

$$M_{rb} = R_m / (bP_y)$$

$$\kappa = 2, \mu = 0.0, 0.2, 0.4 \text{ の場合を図8に示す。特に } b=0 \text{ の場合 }$$

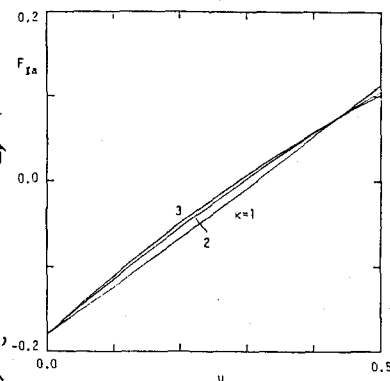
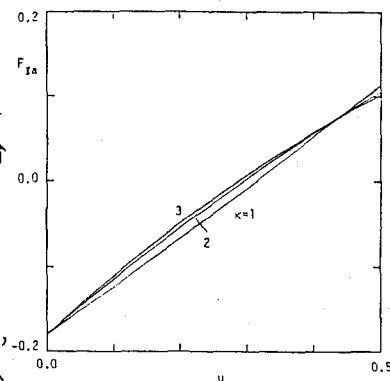
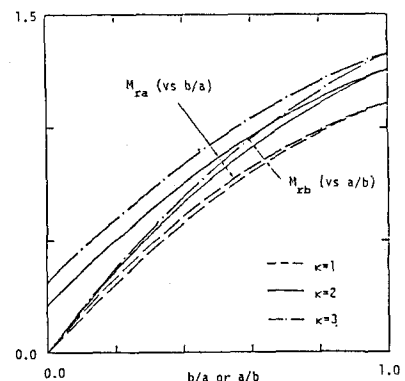
図6 無次元化したS.I.F. $\kappa=2$ 

図7 F_{Ia} $b/a = 0.01$

には、 $R_m = 32P_y$, $\tan \pi \xi = \mu(\kappa-1)/(\kappa+1)$ となる³⁾。

図8 無次元化した合モーメント $\mu=0.2$

参考文献

- 1) 奥村・長谷部 第36回応用力学連合講演会講演予稿集 124D 61年12月
- 2) 竹内・長谷部 土木学会第39回年次講演会講演概要集 第1部 I-132 59年9月
- 3) N.I. Muskhelishvili "Some basic problems of mathematical theory of elasticity" Noordhoff